## Ringvorlesung Perspektiven der Informatik 10. Februar 2003



6

8

10

11 12

13 14

15 16

17 18

19 20

21 22

23 24

## Interdisziplinäre Ideen in der Bildverarbeitung

Joachim Weickert Fakultät für Mathematik und Informatik Universität des Saarlandes

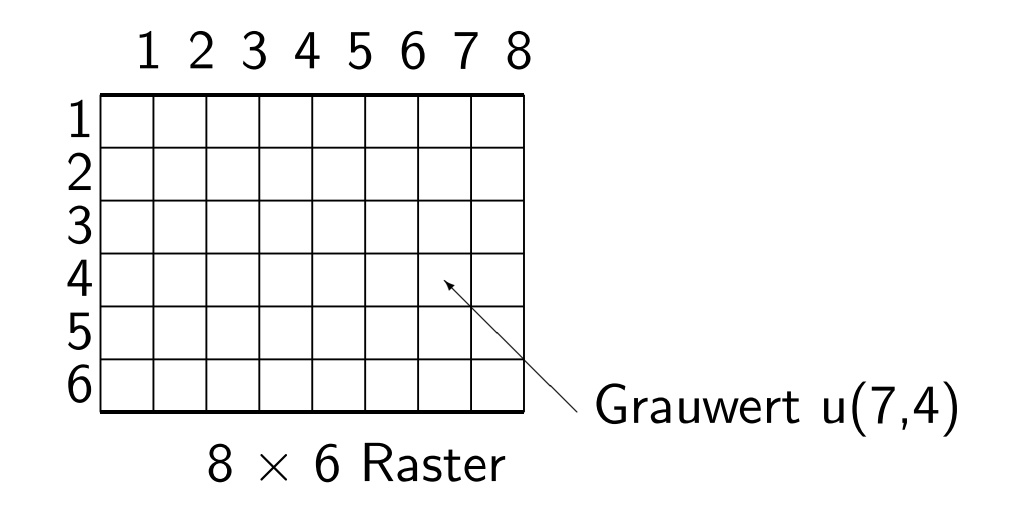
Vortrag im Internet:

www.mia.uni-saarland.de/weickert/ringinf.pdf

#### Überblick

- 1. Grundlagen: digitales Bild, Bildverarbeitung
- 2. Ein physikalischer Glättungsvorgang: Diffusion
- 3. Diffusion in der digitalen Bildverarbeitung
  - Homogene Diffusionsfilter
  - Kantenerhaltende Diffusionsfilter
  - Linienerhaltende Diffusionsfilter
- 4. Diffusion im Computer-Vision-Bereich
  - Bewegungsanalyse in Bildfolgen
  - Stereorekonstruktion
- 5. Zusammenfassung
- 6. Unsere Forschungsthemen

#### Was ist ein digitales Bild?



- Pixelraster aus Zeilen und Spalten
- jedem Pixel dieses Rasters ist ein Grauwert zugeordnet
- ◆ Auge kann nur rund 40 Grautöne unterscheiden
- lacktriangle digitale Grauwertbilder verwenden oft  $2^8=256$  Graustufen
- Graustufen werden mit ganzen Zahlen von 0 (ganz schwarz) bis 255 (ganz weiß) kodiert (8-Bit Grauwertskala). Es genügt daher ein Byte zum Abspeichern eines Grauwerts.
- ◆ Farbwerte werden durch 3 Bytes kodiert (rot, grün, blau).

7 8

9 | 10 |

11 12

13 14

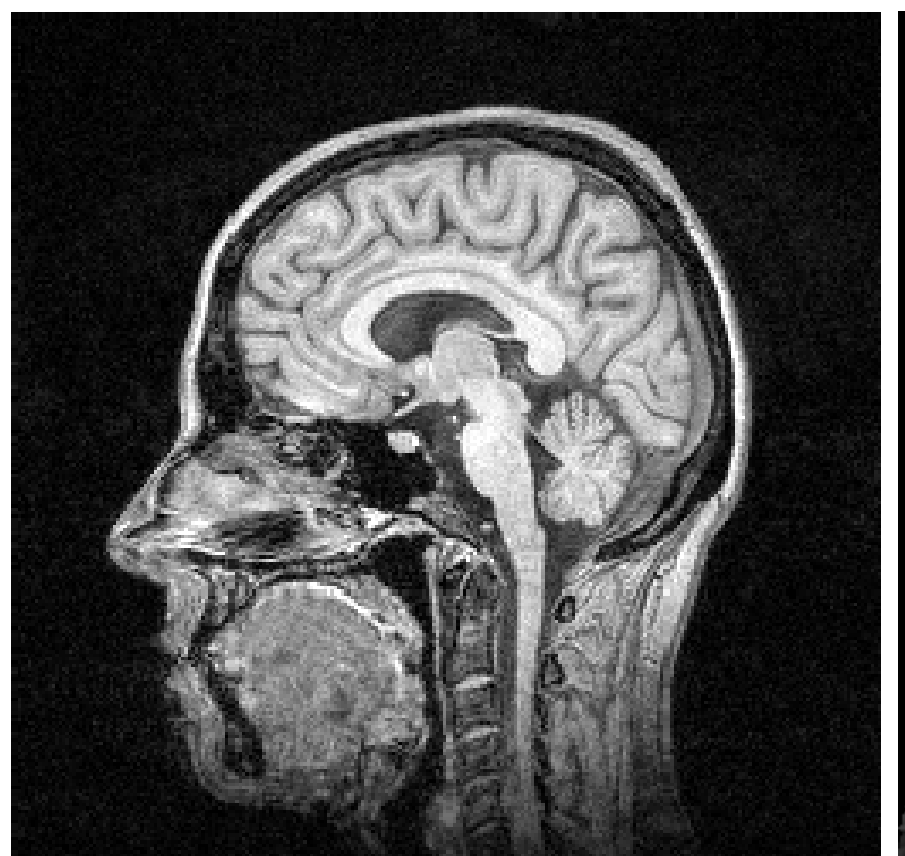
**15 16** 

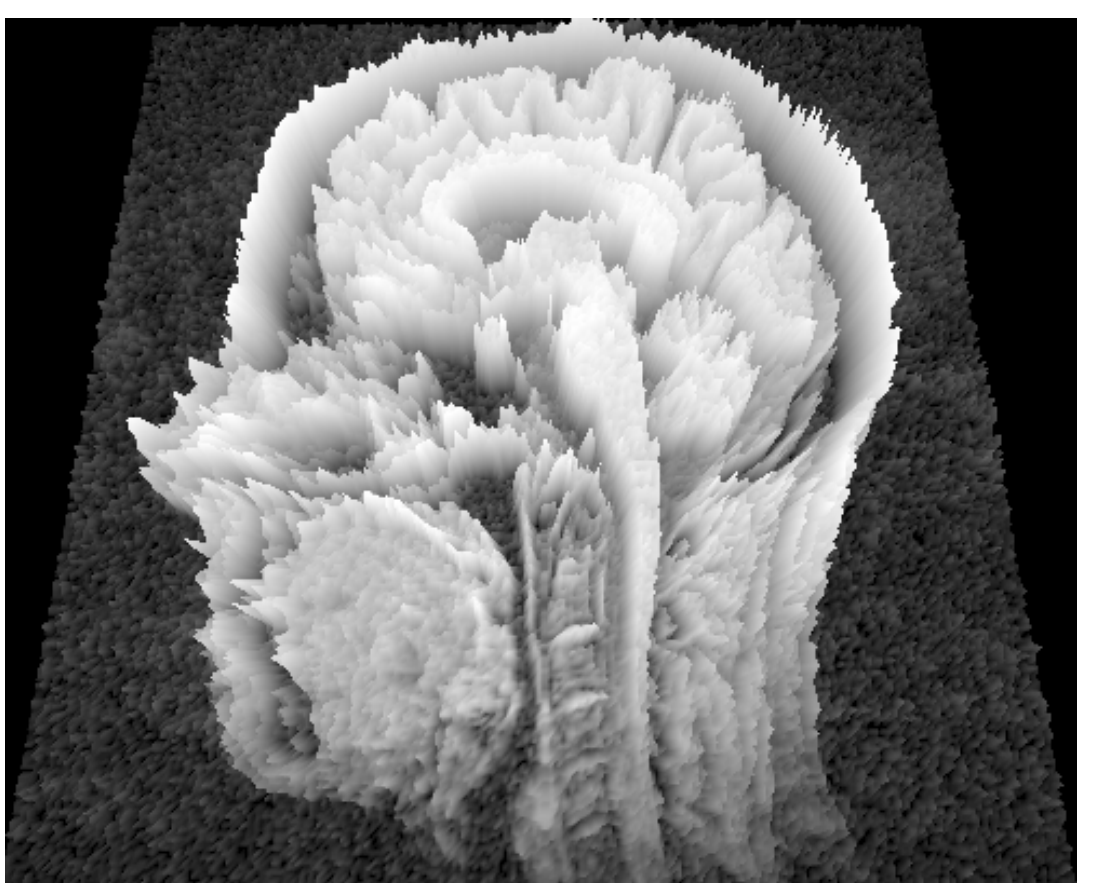
17 18

19 20

21 22

#### Bilder als Grauwertgebirge





- (a) Links: Grauwertbild mit  $256 \times 256$  Pixeln. (b) Rechts: Darstellung als Grauwertgebirge
- Bilder sind für uns Grauwertgebirge
- je heller, desto höher
- lacktriangle kann man als Funktion f(x,y) über einem rechteckigen Bildbereich auffassen

7 | 8

9 10

11 12

13 14

15 16

**17 18** 

19 20

21 22

#### Bildverarbeitungsproblem: Rauschen

- Aufgabe der Bildverarbeitung ist es, aus einem schlecht interpretierbaren Digitalbild ein neues Bild zu gewinnen, das vom Menschen oder einem Computer besser interpretiert werden kann.
- zu unterscheiden von Bildbearbeitung: Künstlerisch-spielerischer Umgang mit Malund Effektprogrammen wie Adobe Photoshop
- Typisches Bildverarbeitungsproblem: Entrauschen
- Rauschen äußert sich in Grauwertschwankungen.
- Wie kann man solches Rauschen mit dem Computer entfernen?
- Hierzu betrachten wir einen physikalischen Glättungsprozess

8

10

11 12

13 14

15 16

17 18

19 20

21 22

- 6
- 8
- 10
- 11 12
- 13 14
- 15 16
- 17 18
- 19 20
- 21 | 22 |
- 23 24

- Es gibt in der Natur Transportvorgänge, die eine ausgleichende, glättende Wirkung haben.
  - Beispiel: Diffusion gleicht Konzentrationsunterschiede aus.
- Diffusion gehorcht einer mathematischen Gleichung, die Beziehungen zwischen zeitlichen und räumlichen Ableitungen der Konzentrationsverteilung u(x,t)vorschreibt. In 1D:

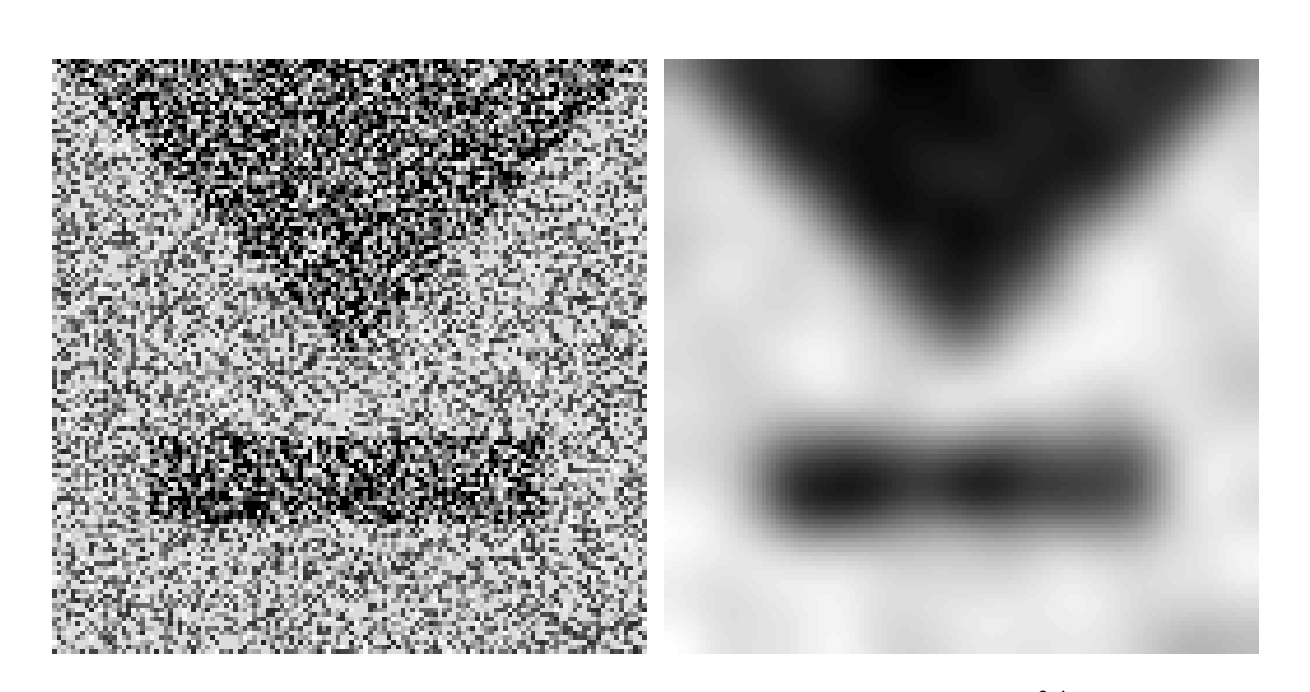
$$\frac{\partial u}{\partial t} = \frac{\partial}{\partial x} \left( k \frac{\partial u}{\partial x} \right)$$

Die Diffusivität k gibt die Geschwindigkeit des Ausgleichsvorgangs an. Aus der Konzentrationsverteilung u(x,t) zur Zeit t=0 kann man die Verteilung zu späteren Zeiten berechnen.

- Die Diffusionsgleichung ist so kompliziert, dass sie normalerweise auf dem Computer angenähert werden muss.
  - Typische Algorithmen simulieren die Diffusion durch eine Abfolge von kleinen Zeitschritten.
  - In jedem Schritt werden die Konzentrationen an den Punkten eines regelmässigen Gitters aus den Konzentrationen des vorherigen Zeitschrittes berechnet.
  - Hierzu muss man z. B. ein sehr großes Gleichungssystem lösen (so viele Unbekannte wie Gitterpunkte).

#### Diffusion in der Bildverarbeitung

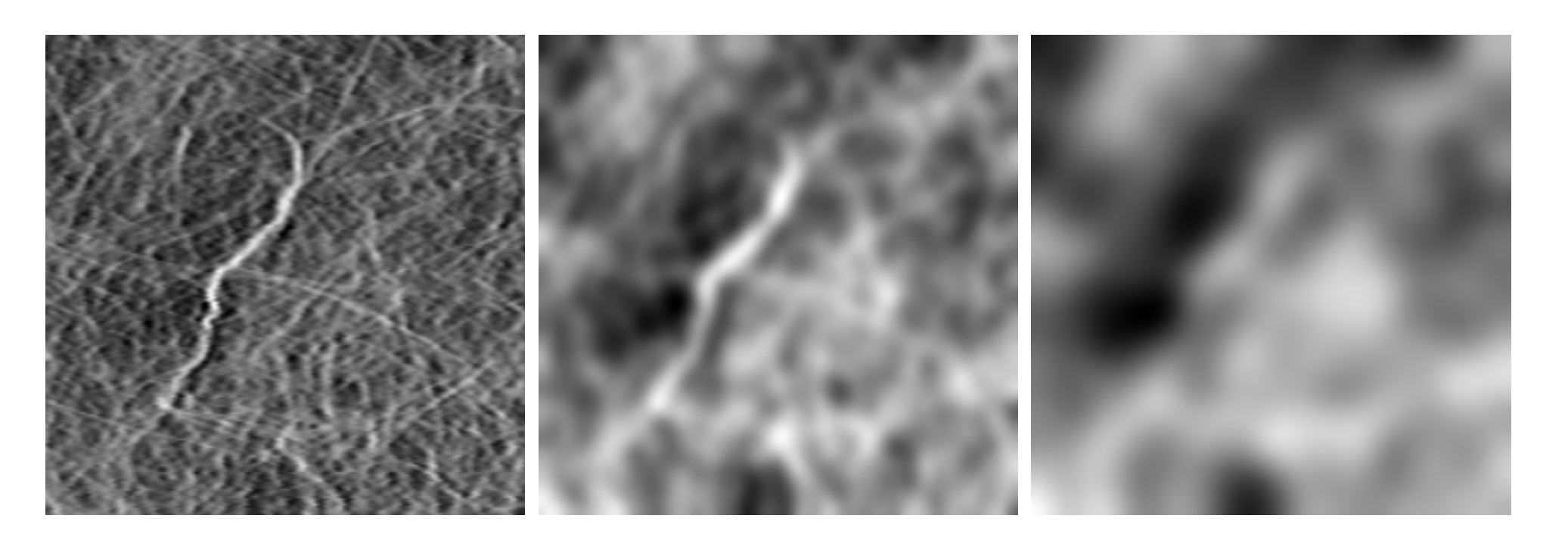
- Diffusion kann auch zum Glätten von Grauwertbildern verwendet werden.
- Hierzu fasst man den Grauwert als Konzentration auf.
- Der diffusive Konzentrationsausgleich wird zur Grauwertdiffusion, die Rauschen entfernt.
- Dieser Glättungsprozess kann noch durch die Wahl einer geeigneten Diffusivität beeinflusst werden.



(a) Links: Verrauschtes Testbild mit  $128 \times 128$  Pixel. Es wurden 70 % aller Pixel durch Zufallswerte ersetzt. (b) Rechts: Diffusionsfilterung zur Zeit t=18.

#### Anwendungsbeispiel für Diffusionsfilter

- Zur computergestützten Qualitätskontrolle in der Spinnvliesproduktion möchte man die Wolkigkeit des Materials visualisieren.
- Dies ist durch die Anwendung diffusionsartiger Algorithmen in Echtzeit möglich.



Diffusionsfilterung zur Darstellung der Wolkigkeit von Spinnvlies. Von LINKS NACH RECHTS: t=0, t=16, t=64. Die Bildgröße beträgt  $256\times 256$  Pixel.

8

10

11 12

13 14

15 16

17 18

19 20

21 22

#### Kantenerhaltende Diffusion

- Die bisherigen Diffusionsfilter verwendeten konstante Diffusivität
- zerstören auch wichtige Strukturen wie z.B. Bildkanten
- Verwendet man eine Diffusivität, die die Diffusion an den Kanten (d.h. an hohen Grauwertsprüngen) hemmt, so erhält man einen nichtlinearen Diffusionsfilter, der Kanten berücksichtigt.





(a) Links: "Ansicht von Venedig" von Canaletto, National Gallery of Art, Washington, um 1740,  $510 \times 353$  Pixel. (b) Rechts: Kantenerhaltende Diffusionsfilterung.

l 2

3 | 4

5 | 6

7 | 8

9 10

11 12

13 14

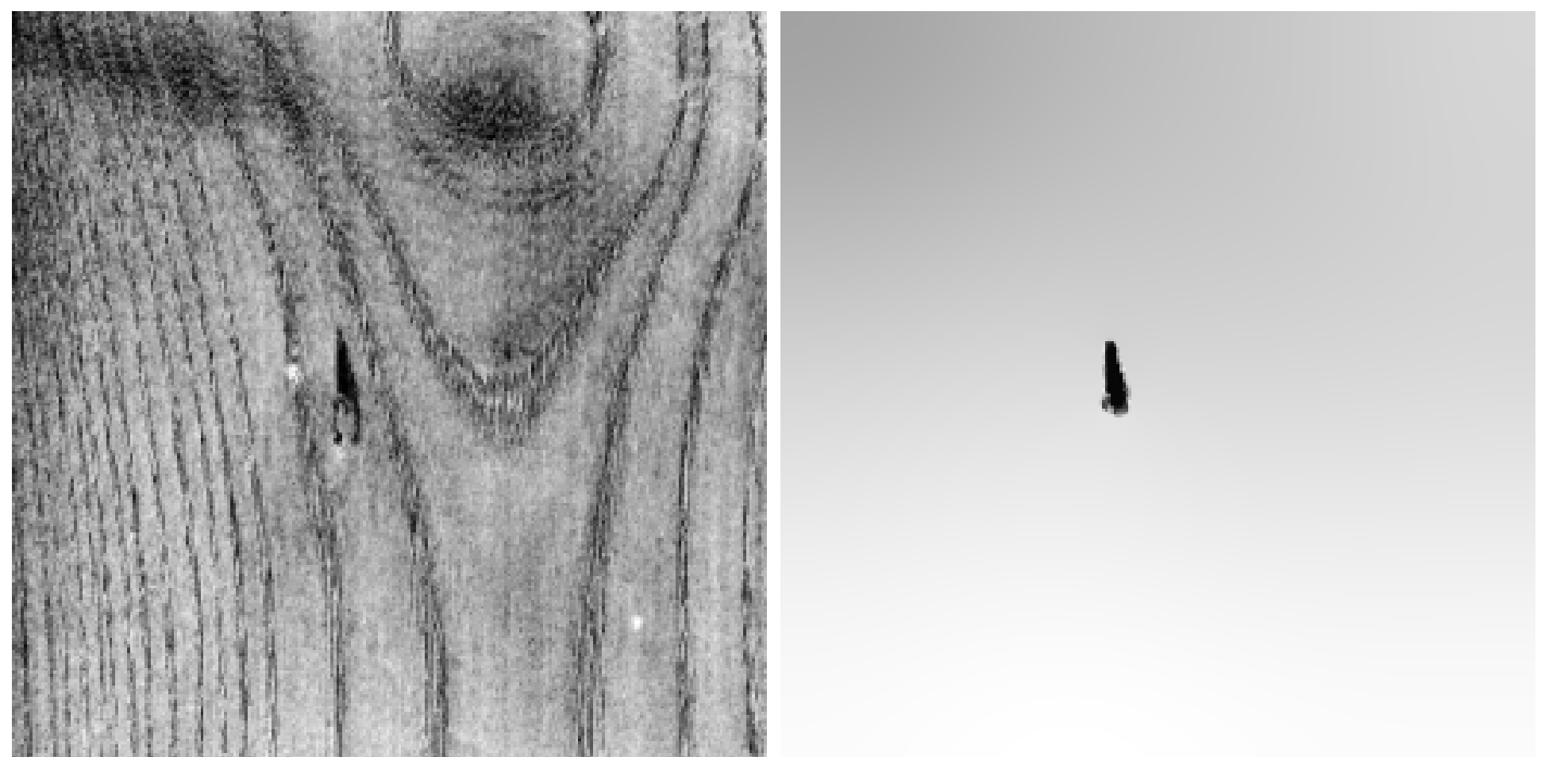
15 16

**17 18** 

19 20

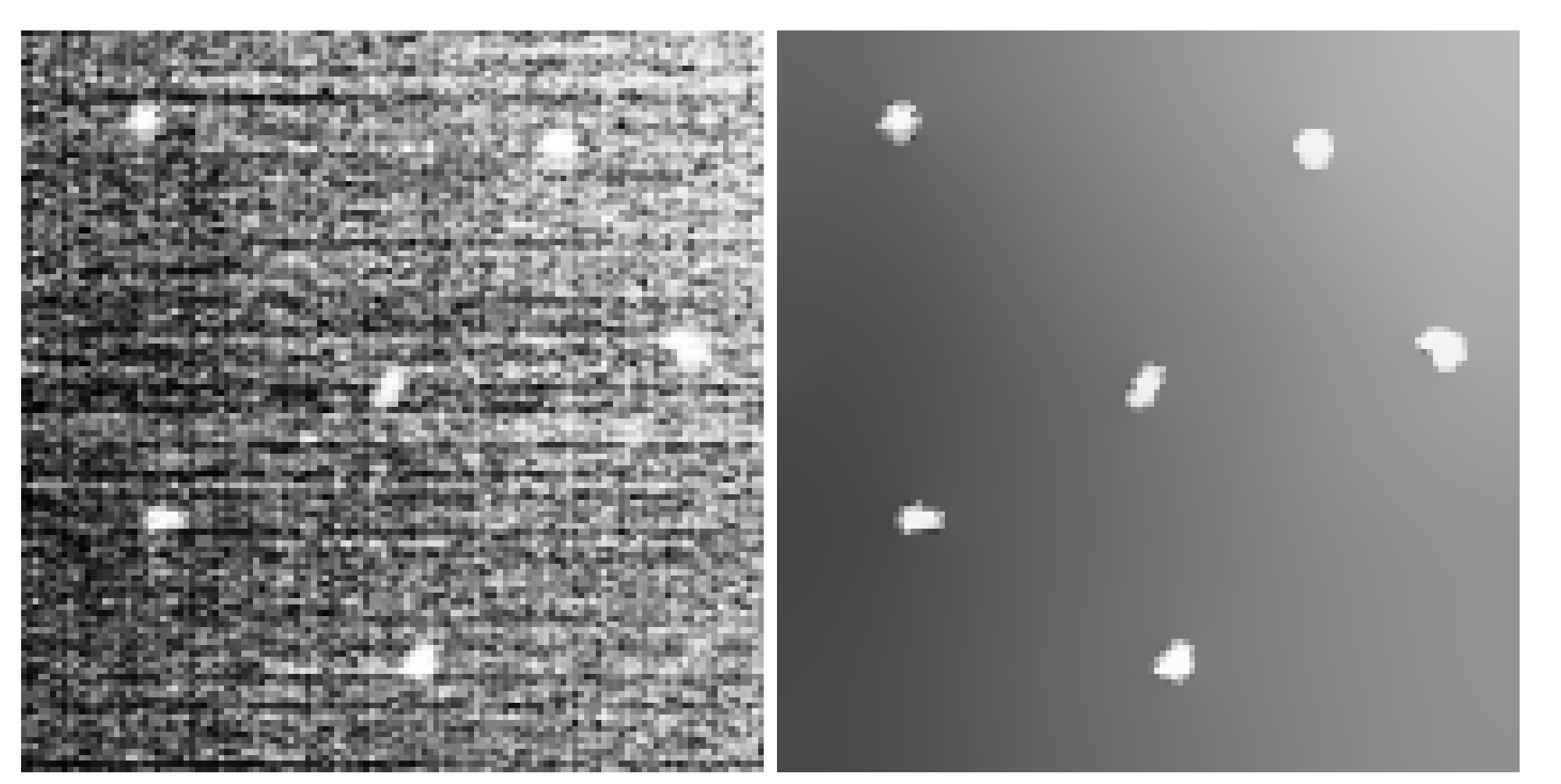
21 22

#### Kantenerhaltende Diffusion: Anwendungsbeispiel



Defektdetektion bei Holzoberflächen. (a) Links: Holzoberfläche,  $256 \times 256$  Pixel. (b) Rechts: Kantenerhaltende Diffusion macht den Defekt sichtbar.

#### Kantenerhaltende Diffusion: Anwendungsbeispiel



Diffusionsfilterung in der Mammographie. (a) Links: Ausschnitt eines Mammogramms (Röntgenaufnahme der weiblichen Brust),  $128 \times 128$  Pixel. Die weißen Strukturen sind kleine Verkalkungen, die bei der Entstehung von Brustkrebs eine wichtige Rolle spielen. (b) Rechts: Kantenerhaltende Diffusion macht die Verkalkungen besser sichtbar.

11 12

13 14

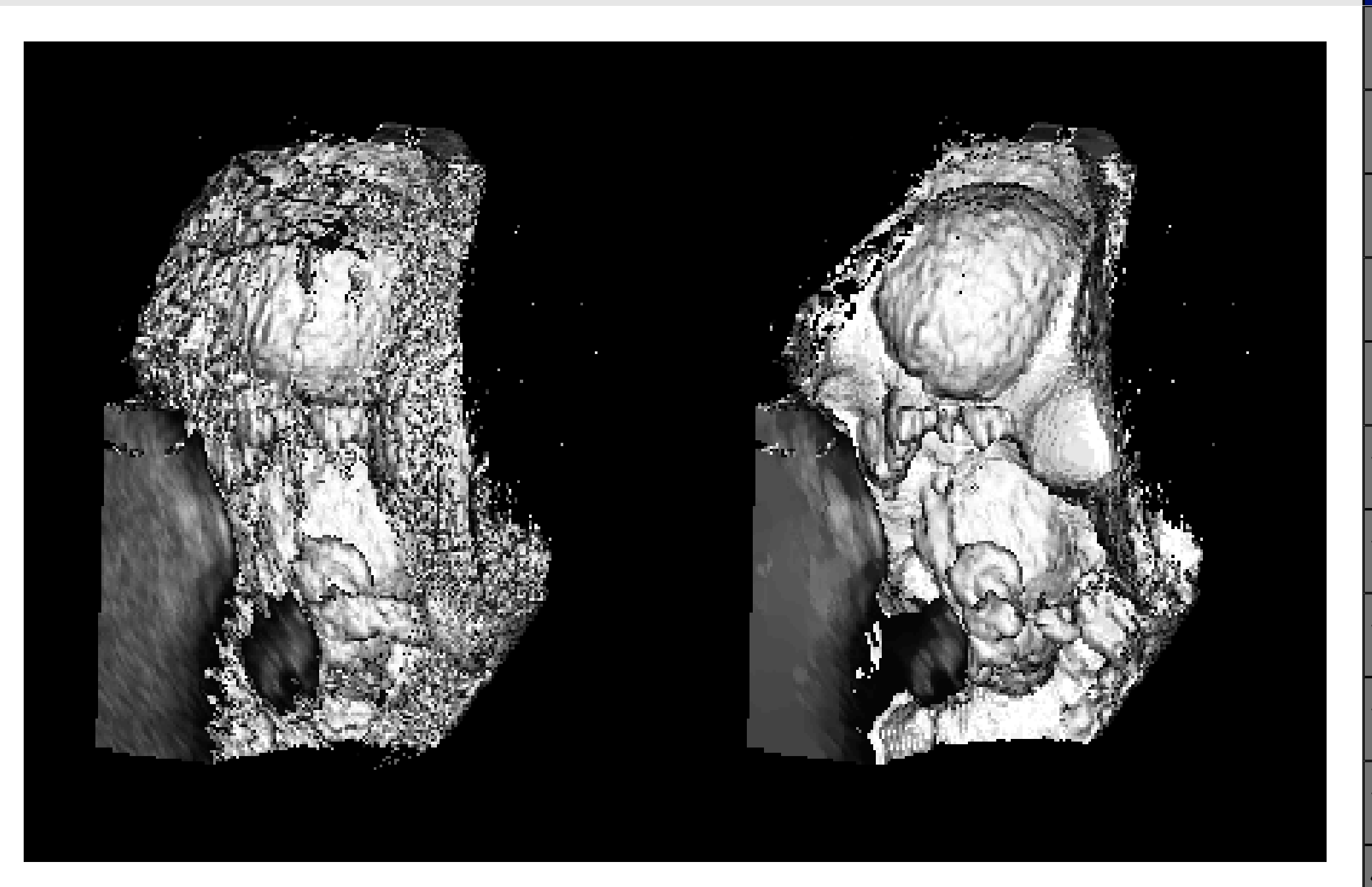
15 16

17 18

19 20

21 22

#### Kantenerhaltende Diffusion: Anwendungsbeispiel



Dreidimensionale Ultraschallaufnahme eines 10 Wochen alten Fötuses. LINKS: Originalbild,  $138 \times 208 \times 138$  Voxel. Rechts: Kantenerhaltende Diffusionsfilterung.

M I

1 | 2

3 | 4

5 | 6

7 | 8

9 | 10 |

11 12

13 14

15 16

**17** 18

19 20

21 22

#### Linienerhaltende Diffusion

- Man kann den Diffusionsprozess sogar so verfeinern, dass die Stärke der Diffusion auch noch von der Richtung abhängt.
- Damit kann man dann linienartige Strukturen herausarbeiten.



Aufbereitung eines Fingerabdrucks. (a) Links: Originalbild,  $256 \times 256$  Pixel. (b) Rechts: Linienerhaltende Diffusionsfilterung.

A

. 2

3 4

6 6

7 | 8

9 10

11 12

13 14

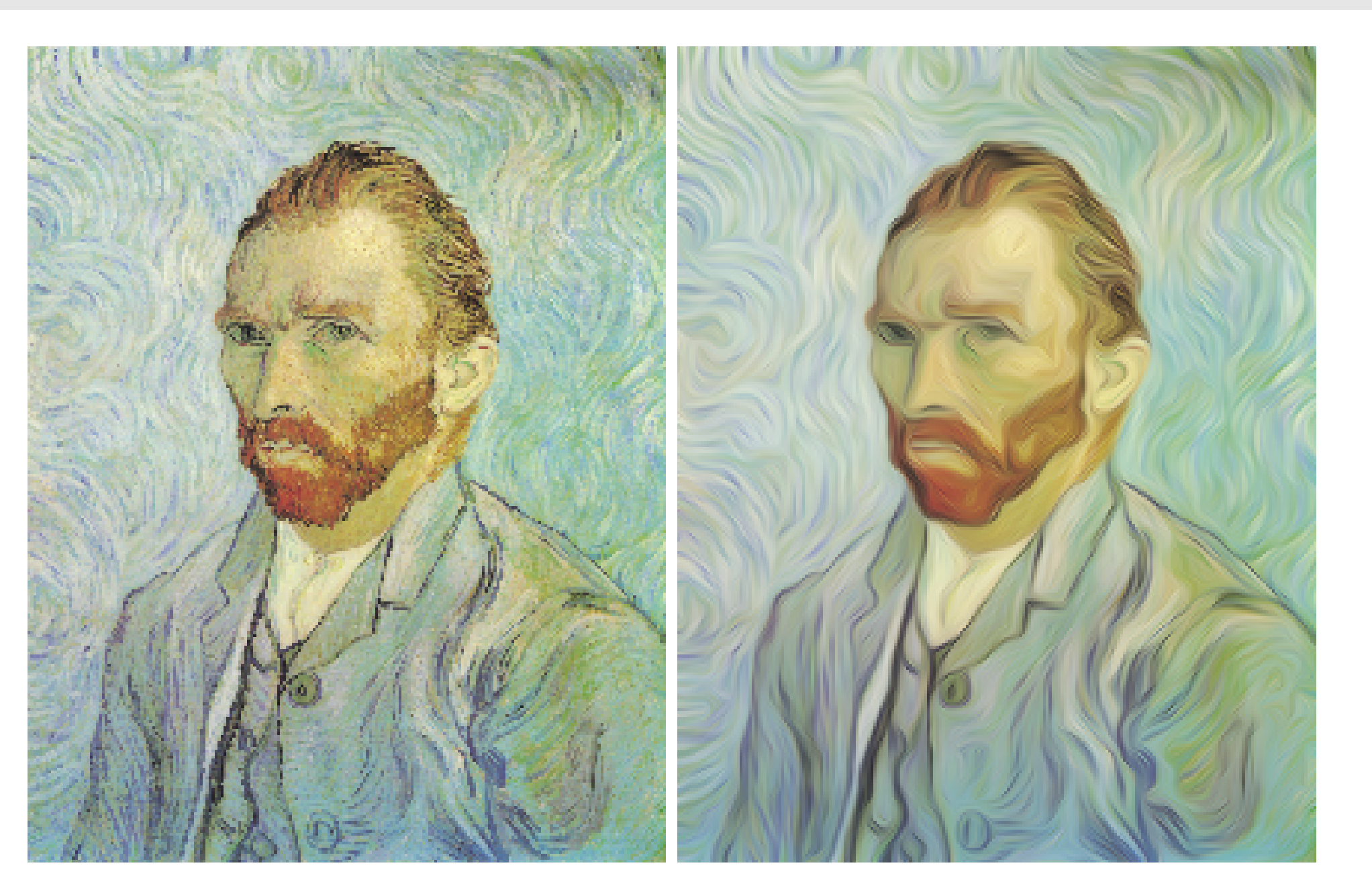
15 16

17 18

19 20

21 22

#### Linienerhaltende Diffusion: Anwendungsbeispiel



(a) Links: Selbstportrait (van Gogh, Saint-Rémy, 1889; Paris, Museé d'Orsay).  $215 \times 275$  Pixel. (b) Rechts: Linienerhaltende Diffusion.

4	
	2
_	

3 4

5 | 6

7 8

9 10

11 12

13 14

15 16

**17 18** 

19 20

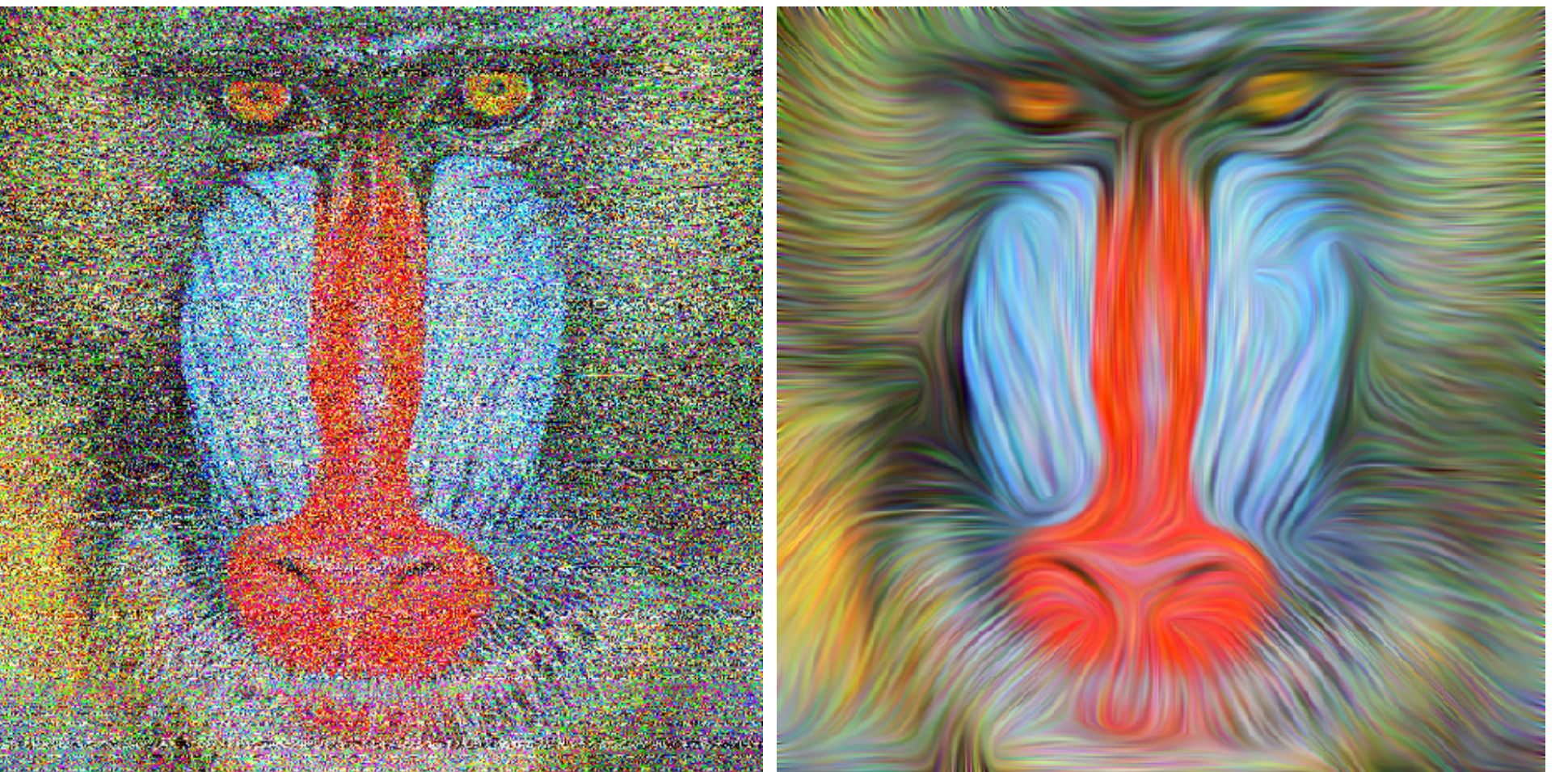
21 22

### Linienerhaltende Diffusion: Anwendungsbeispiel



(a) Links: Pavian,  $512 \times 512$  Pixel. (b) Rechts: Stark verrauscht.

#### Linienerhaltende Diffusion: Anwendungsbeispiel



Linienerhaltende Diffusionsfilterung. (a) LINKS: Verrauschter Pavian,  $512 \times 512$  Pixel. (c) RECHTS: Linienerhaltende Diffusion.

#### Diffusion im Computer-Vision-Bereich

- Im Computer-Vision-Bereich will man aus 2D Daten Informationen über eine 3D Welt gewinnen
- Beispiele:
  - Bewegungsanalyse in Bildfolgen
  - Stereorekonstruktion
- mathematisch schlecht gestelltes Problem:i.A. keine Eindeutigkeit
- Eindeutigkeit möglich durch zusätzliche Glattheitsannahmen
- lassen sich durch Diffusionsprozesse realisieren

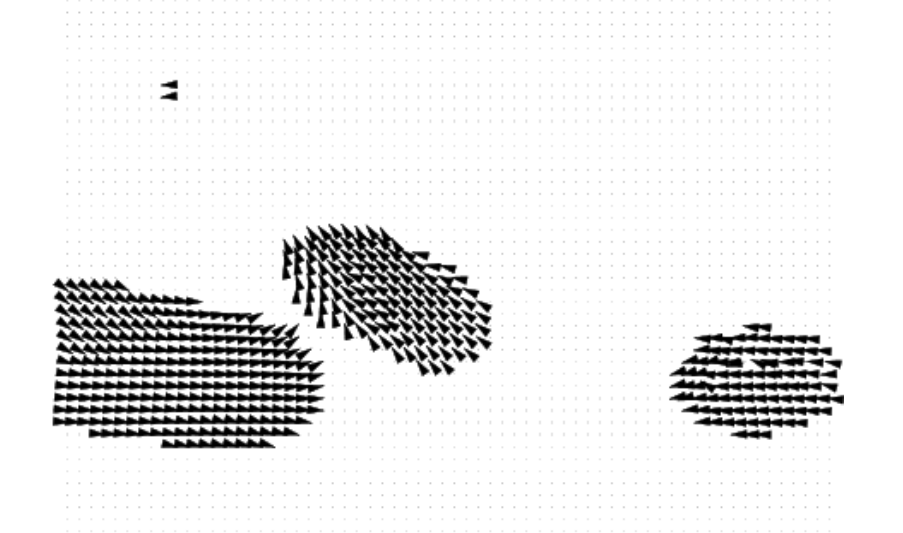
4

21 22

#### Diffusion in der Bildfolgenanalyse







(a) OBEN LINKS: Bild 10 der Hamburger Taxisequenz. (b) OBEN RECHTS: Bild 11. (c) UNTEN: Verschiebungsvektorfeld mit einem diffusionsbasierten Algorithmus.

A

1 2

3 | 4

5 | 6

7 | 8

9 | 10 |

11 12

13 14

15 16

**17** 18

19 20

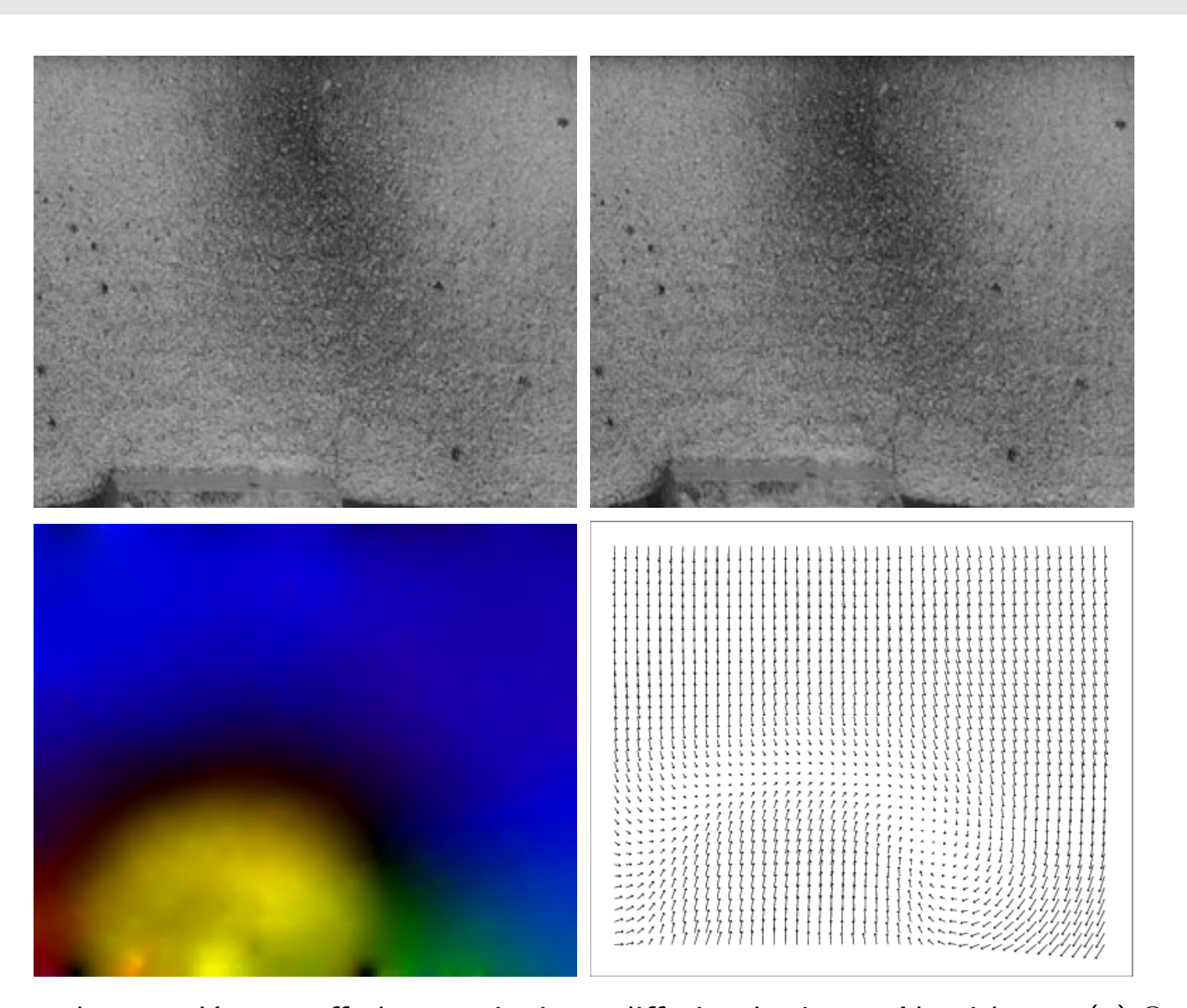
21 22

#### Vergleich mit anderen Verfahren

Verfahren	mittl. Winkelfehler	Dichte
Lucas & Kanade T	4.98°	32.1 %
Singh (step 2)	6.18°	77.6 %
Horn & Schunck MT	6.62°	46.3 %
Uras et al. T	6.93°	54.2 %
Proesmans et al.	7.41°	100.0 %
Singh (step 1)	7.87°	81.2 %
Lucas & Kanande	8.93°	74.1 %
Horn & Schunck M	9.24°	74.1 %
Uras et al.	10.19°	77.6 %
Anandan T	10.58°	53.7 %
Lucas & Kanade MT	11.17°	27.7 %
Anandan	11.63°	77.6 %
Camus (3 images)	13.69°	100.0 %
Horn & Schunck T	14.67°	76.7 %
Camus (15 images)	14.73°	100.0 %
Weickert & Schnörr	4.85°	100.0 %

Resultate für eine synthetische Bildsequenz von Galvin et al. (1998). Ein gutes Verfahren sollte einen möglichst kleinen mittleren Winkelfehler und ein möglichst dichtes Verschiebungsvektorfeld aufweisen.

#### Bildfolgenanalyse in der technischen Mechanik



Deformationsanalyse von Kunststoffschaum mit einem diffusionsbasierten Algorithmus. (a) OBEN LINKS: Bild 1 einer Deformationssequenz,  $273 \times 224$  Pixel. (b) OBEN RECHTS: Bild 2. (c) UNTEN LINKS: Farbkodiertes Verschiebungsvektorfeld. (d) UNTEN RECHTS: Vektorplot des Verschiebungsfeldes.

. 2

3 | 4

5 6

7 | 8

9 | 10 |

11 12

13 14

15 16

17 18

**19** 20

21 22

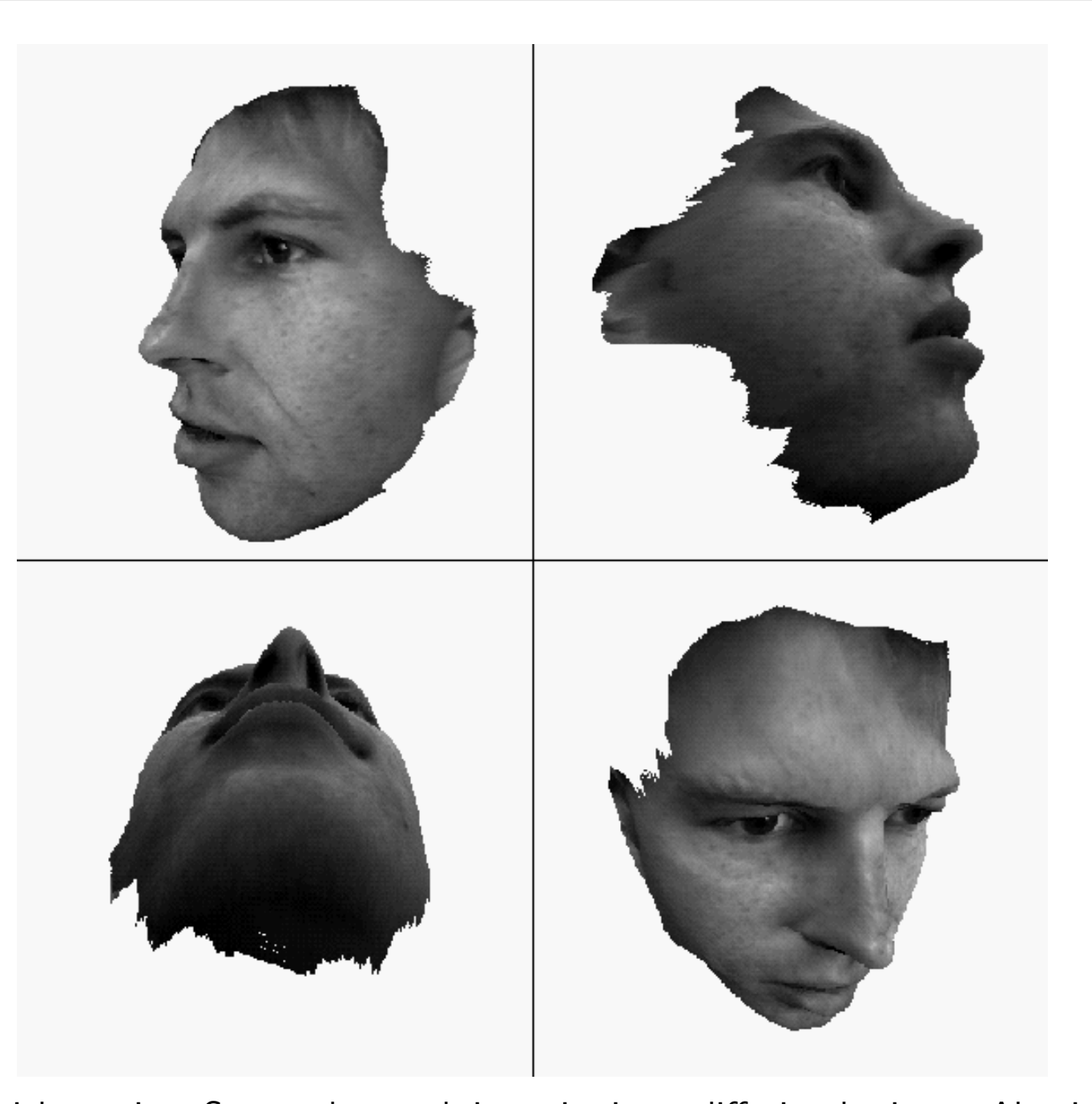
#### Diffusion in der Stereorekonstruktion



Stere obild paar.

# 4 5 6 8 10 11 12 13 14 **15 16** 17 18 19 20 21 22

#### Diffusion in der Stereorekonstruktion II



Vier Ansichten einer Stereorekonstruktion mit einem diffusionsbasierten Algorithmus.

#### Zusammenfassung

- Zahlreiche Bildverarbeitungsprobleme lassen sich mit Modellen beschreiben, die ursprünglich aus anderen Fachgebieten stammen.
- Beispiel in diesem Vortrag: Diffusion.
- Es gibt verschiedene Varianten von Diffusionsfiltern. Sie erlauben z.B. kanten- oder linienerhaltende Glättung von Bildern.
- Vielseitig anwendbar, z. B. in der medizinischen Bildverarbeitung oder der computergestützten Qualitätskontrolle.

#### **Unsere Forschungsthemen**

- Wie lassen sich Bildverarbeitungsprobleme modellieren?
- Sind die Modelle theoretisch fundiert?
- Gibt es hierzu stabile und zuverlässige Algorithmen?
- Sind diese Algorithmen schnell und lassen sie sich gut parallelisieren?
- Gibt es spannende Anwendungen (z.B. in der Medizin ...)?

Mehr Informationen: www.mia.uni-saarland.de

Vielen Dank für Ihr Interesse!

8

10

11 12

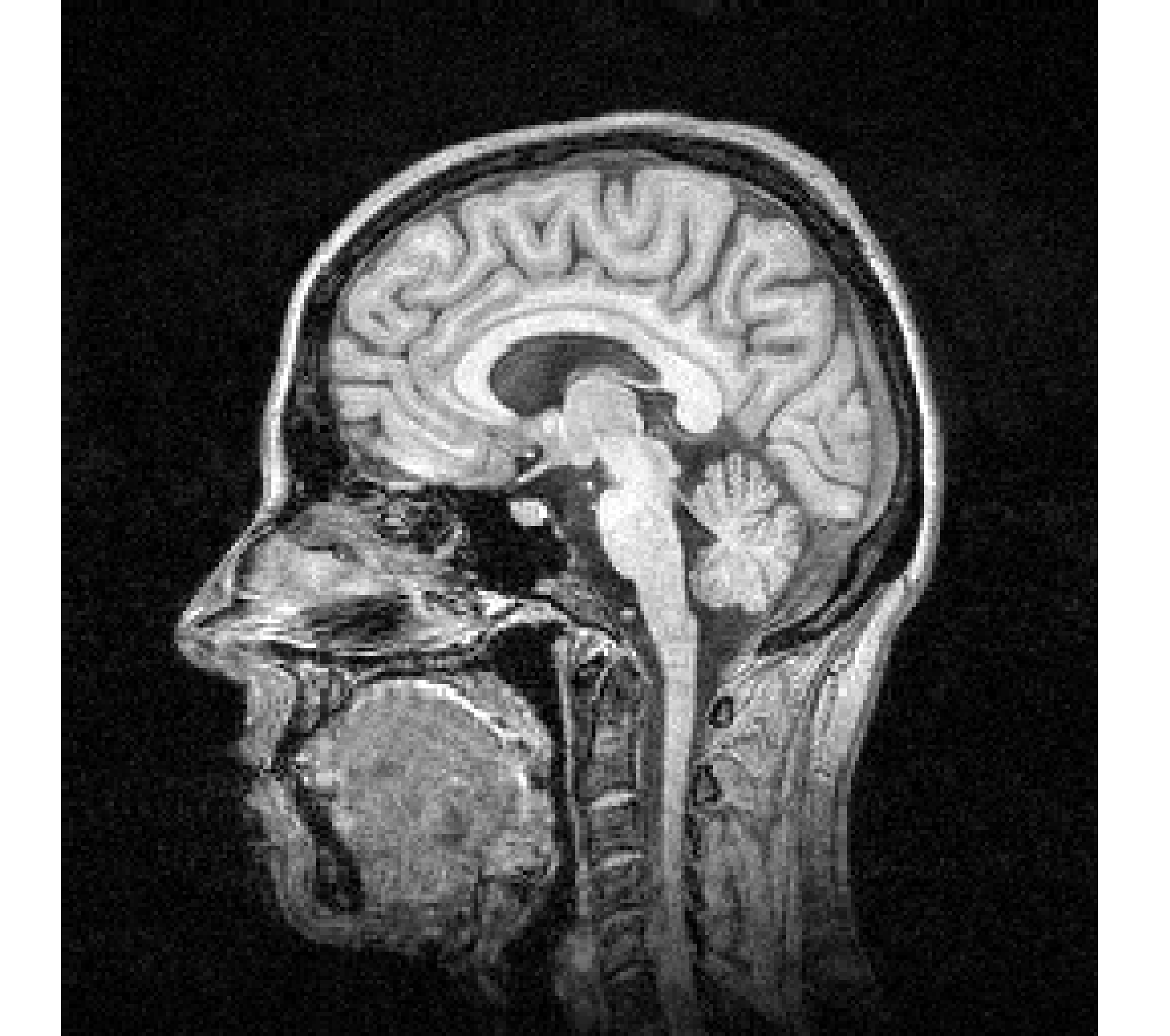
13 14

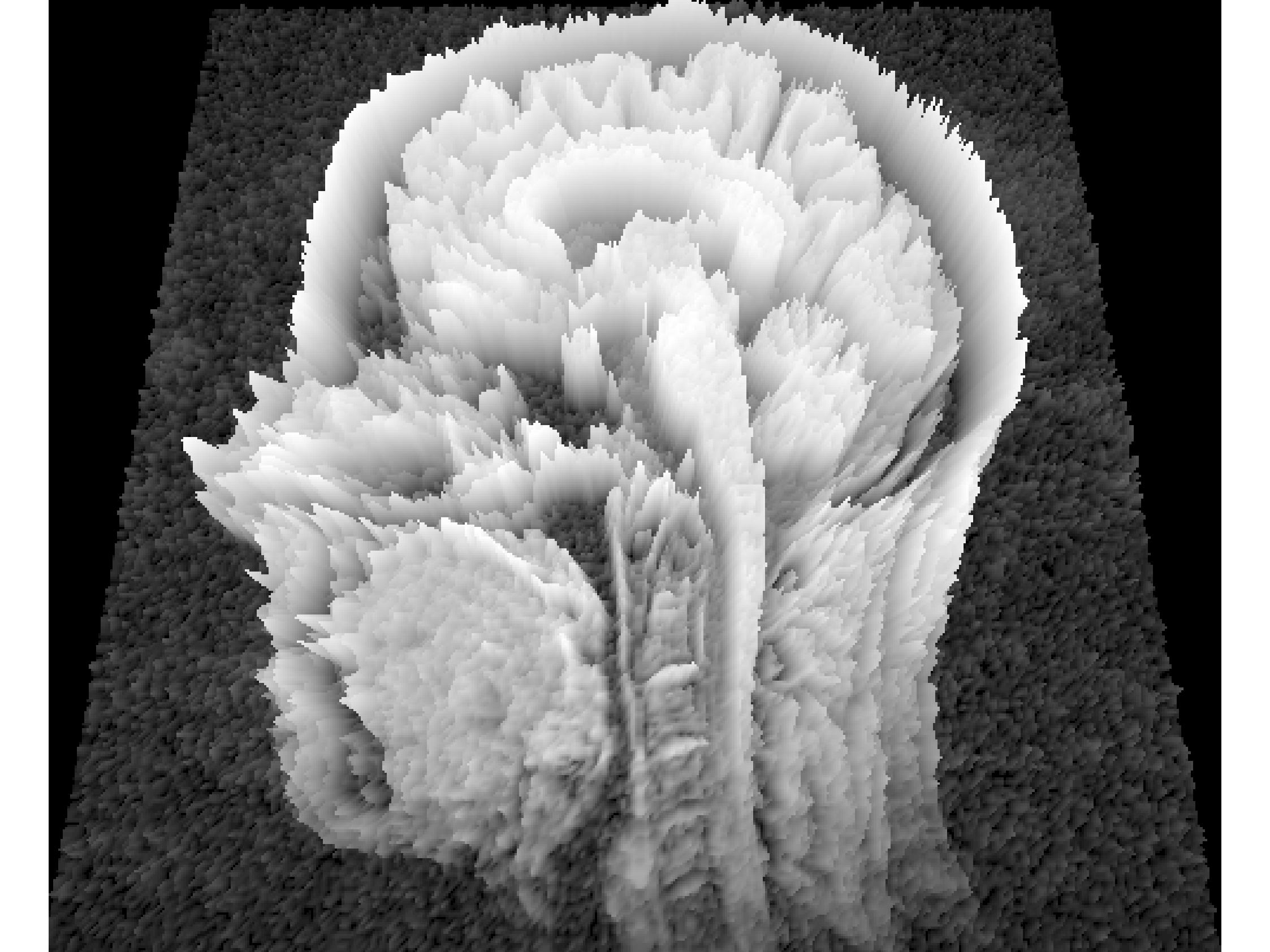
15 16

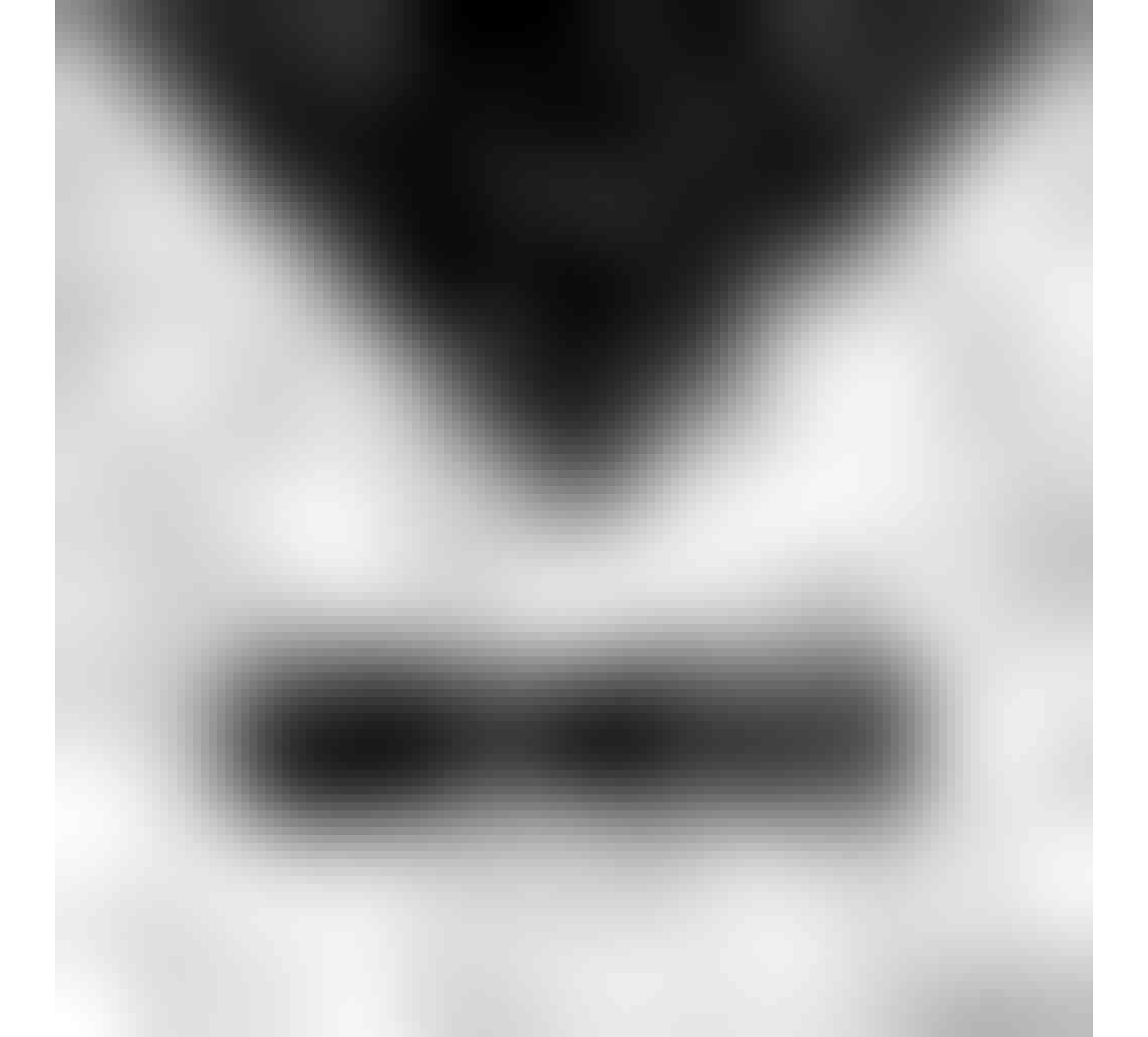
17 18

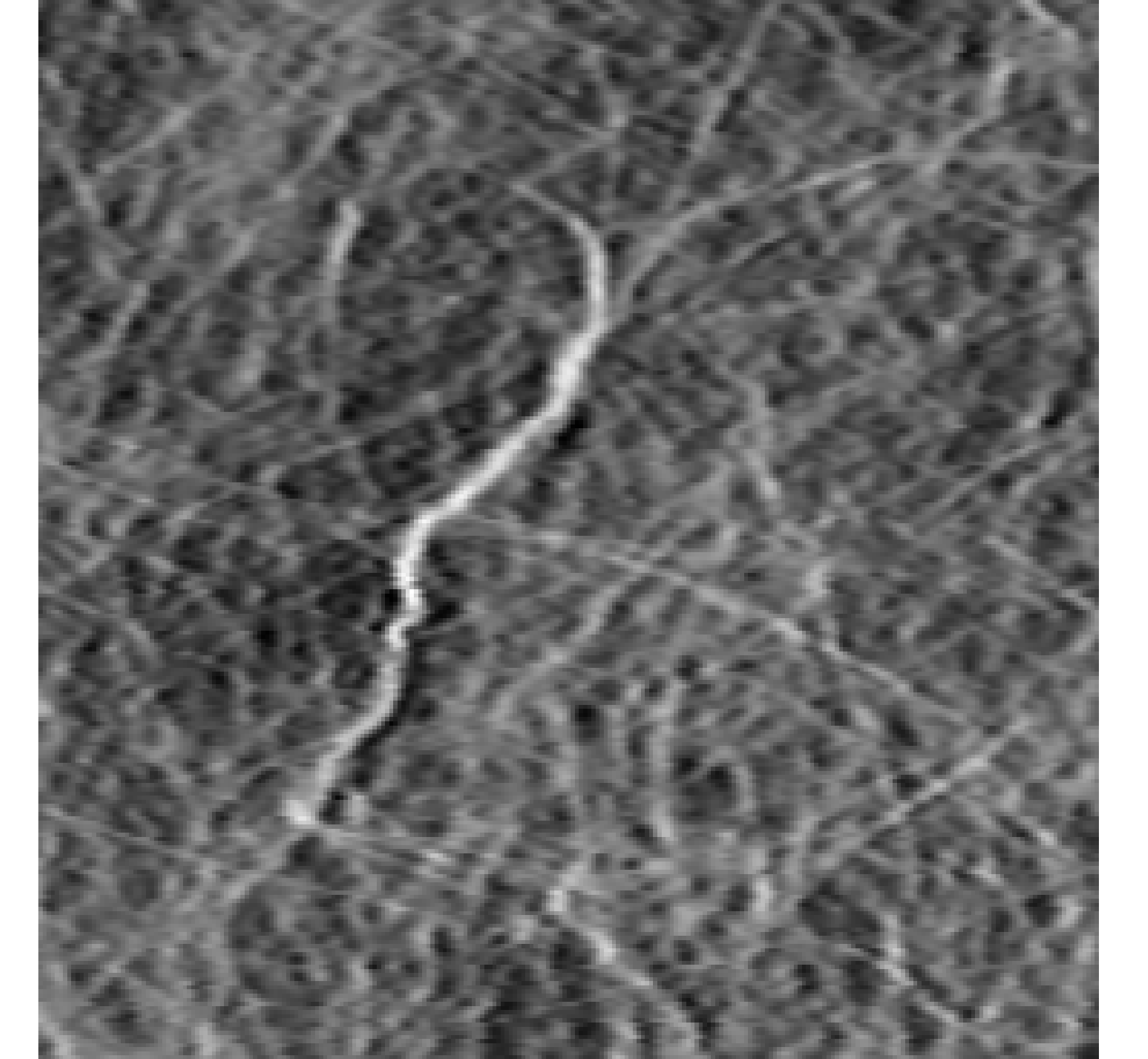
19 20

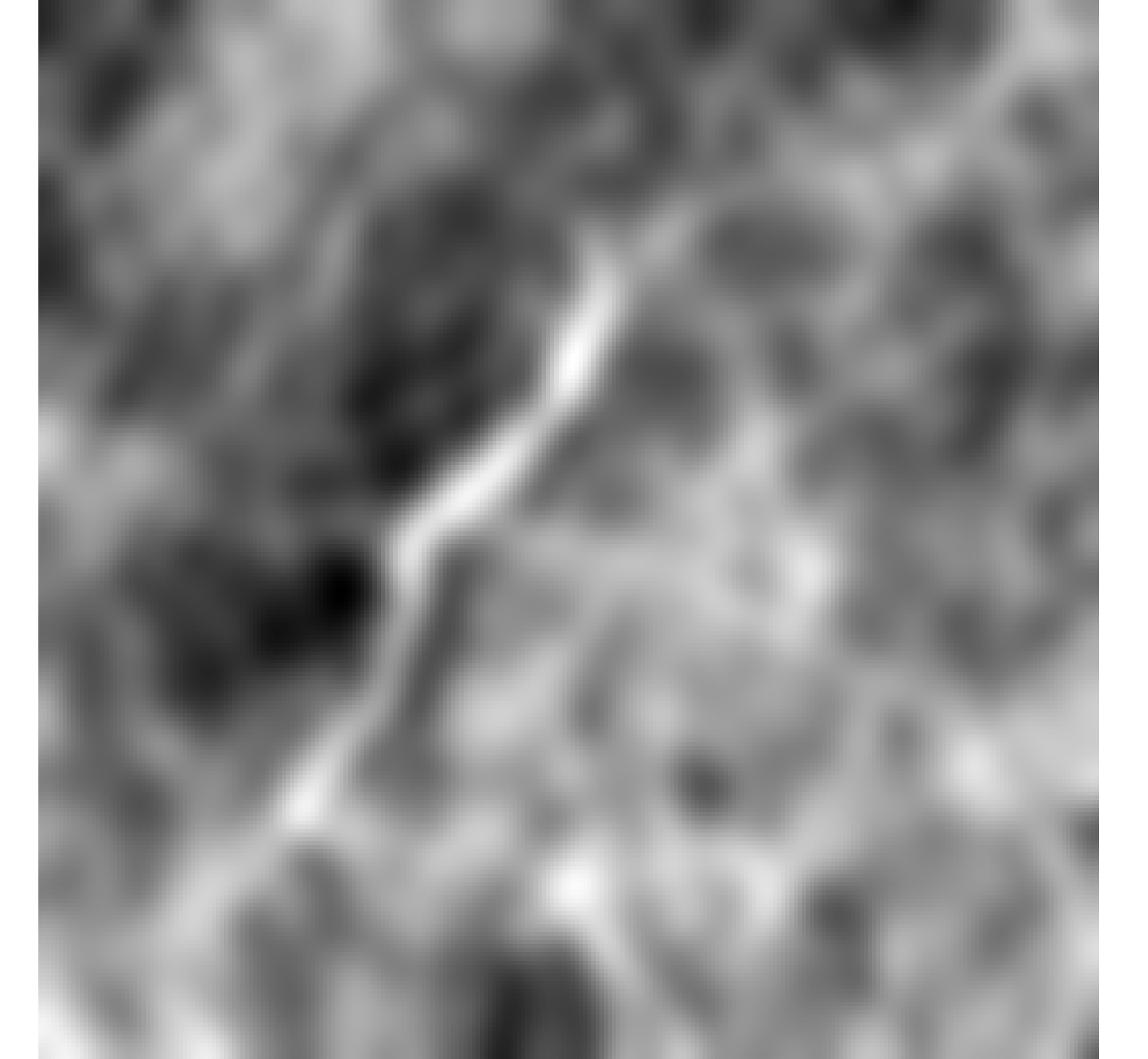
21 22







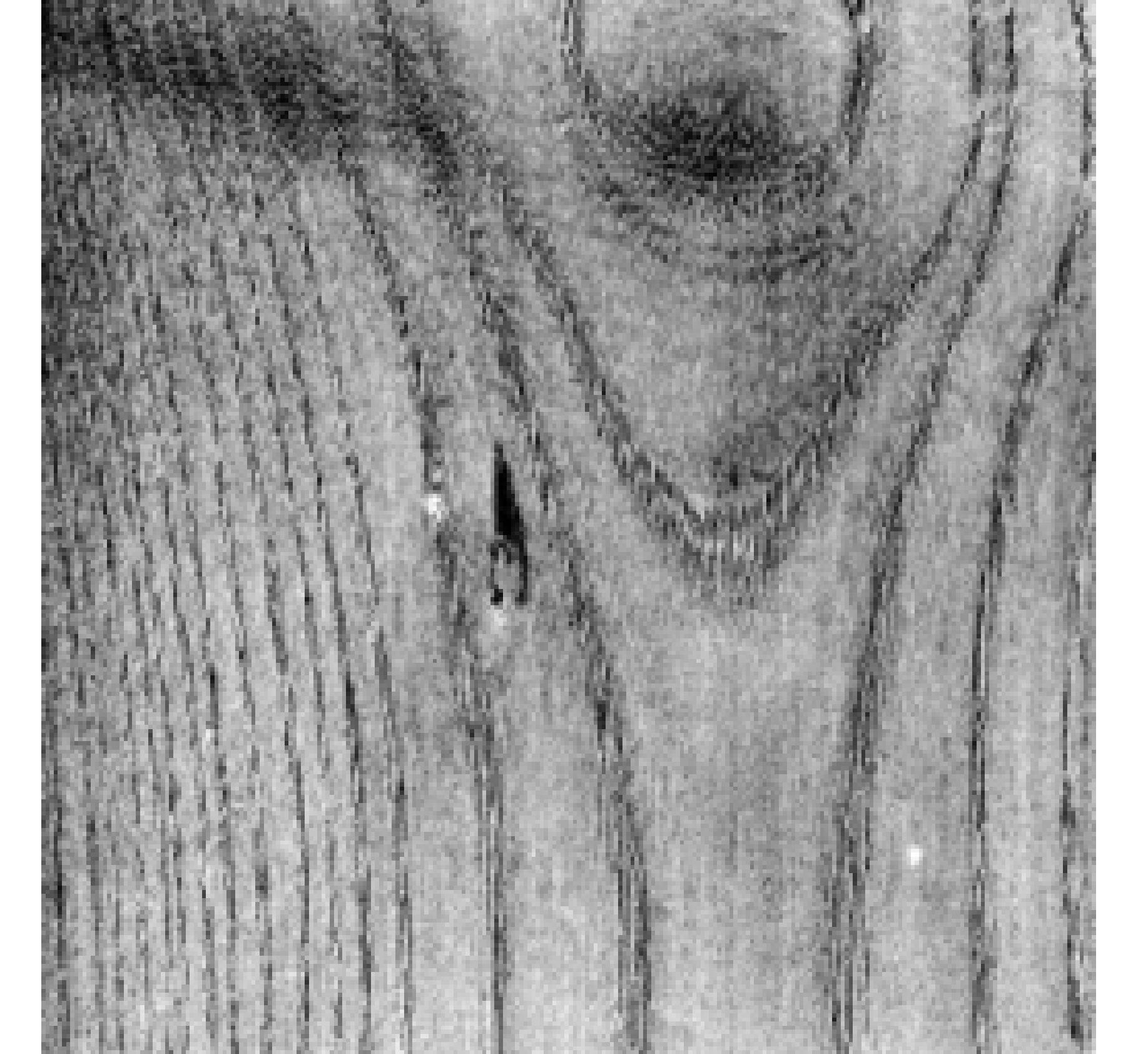














通用的	500	SEGIE!	25 and 1	market.	33
	The same			Section 1	蝼
<b>新北</b> 府				Monte	8
			9	2	8
	200	22	2374	986	R
		200	100	200	Ŗ.
			1000	220	3
-0000E	3000	SEE SE	经验	200	Ħ
			<b>ACC</b> 12	A CONTRACTOR	23
			经验		畿
		200			R
			無論	2523	ő
250	學學學			200	83

